

京都大学大学院工学研究科 学生員 ○ 田中 浩 正会員 宗宮 功  
正会員 藤井滋穂 学生員 藤原 拓

## 1. はじめに

ステップフィード嫌気好気法（以下ステップ法）は、わずかな改良で既存施設の窒素除去向上が期待される方法で、筆者らはその最適ステップ率を化学量論に基づく理論解析<sup>1,4)</sup>で検討してきた。その中で、好気槽からの持込 DO の影響が無視可能な場合<sup>1,4)</sup>とアルカリ度十二分の場合<sup>2,3,4)</sup>はすでに最適条件の解析解を提示した。本報告では、化学量論理論を基礎としつつ数値計算で条件等を検討することで、DO およびアルカリ度も反応に関与する場合の最適条件を考察した。

## 2. 最適条件および最大 T-N 除去率の理論計算方法

### (1) 反応速度による各槽水質濃度表示

対象処理系は既報<sup>2,4)</sup>と同様、図 1 の反応系であり、各濃度は化学量論解析のため流入アンモニアに対する当量比で与え、図中の記号で解析する。流入水のアルカリ度、基質濃度は  $a, b$ 、操作条件は、返送率  $R$ 、ステップ率  $r$  および N1, N2 槽 DO の  $d_1, d_2$  であり、これらの条件と各槽反応量  $m_i/r_2$  等で各槽の水質値は表 1 のように表記可能である<sup>3,4)</sup>。

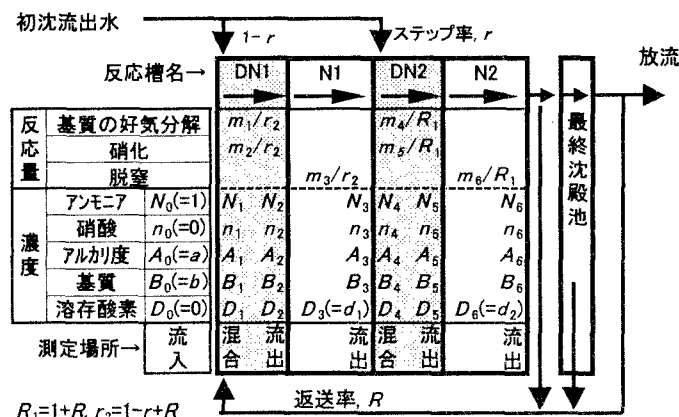


図1. ステップ法のモデルプロセスおよび各使用水質記号

表1. 反応槽各地点での水質濃度(流入水質、操作条件および反応量による表現)

$$R_1=1+R, R_2=1-r+R$$

サフィックス	アンモニア, $N$	硝酸, $n$	アルカリ度, $A$	基質, $B$	DO, $D$
1	$1-R(R(m_3+m_6)/r_2)$	$R(-m_2+m_3-m_5+Rm_6)/r_2$	$a+R(m_2-2m_3+m_5-2Rm_6)/r_2$	$(1-\bar{a})b/r_2$	$Rd_2/r_2$
2	$1-R(m_3+m_6)/r_2$	$[-R_1m_2+R(m_3-m_5+Rm_6)]/r_2$	$a+R[m_2+R(-2m_3+m_5-2Rm_6)]/r_2$	$[(1-\bar{a})b-m_1-m_2]/r_2$	$(Rd_2-m_1)/r_2$
3	$1-(R(m_3+Rm_6)/r_2)$	$[-R_1m_2+R_1m_3+R(-m_5+m_6)]/r_2$	$a+[Rm_2-2R_1m_3+R(m_5-2Rm_6)]/r_2$	0	$d_1$
4	$1-m_1-Rm_6/R_1$	$-m_2+m_3+R(-m_5+m_6)/R_1$	$a+m_2-2m_3+R(m_5-2m_6)/R_1$	$rb/R_1$	$d_2/R_1$
5	$1-m_1-Rm_6/R_1$	$-m_2+m_3-m_5+Rm_6/R_1$	$a+m_2-2m_3+m_5-2Rm_6/R_1$	$(rb-m_1-m_3)/R_1$	$(d_2-R_1-m_1)/R_1$
6	$1-m_3-m_6$	$-m_2+m_3-m_5+m_6$	$a+m_2-2m_3+m_5-2m_6$	0	$d_2$

(2) Case 分類 各反応量は、その律速因子がゼロとなるまで完全に進む仮定<sup>1,4)</sup>で算出可能である。律速因子には脱窒槽では硝酸、基質、DO の 3 者が、好気槽ではアンモニア、アルカリ度の 2 者があり、結局出現パターンは表 2 に示す 36 (=3×2×3×2) 通りである。

Case が考えられる。これら Case の一部は既に一般解を算出しているが<sup>2,4)</sup>、本研究では残りの Case でもその解( $m_1 \sim m_6$ )を求めた。結果の一例として Case7 の場合を表 3 に示す。なお律速とならない水質は非負であり、これが各 Case 出現の条件となる。

表2. 律速因子に基づくCase分類

DN		N1		Am		AK	
1	2	N2	Am	Ak	Am	Ak	
硝酸		1	2	7	8		
基質		3	4	9	10		
DO		5	6	11	12		
硝酸		13	14	19	20		
基質		15	16	21	22		
DO		17	18	23	24		
硝酸		25	26	31	32		
基質		27	28	33	34		
DO		29	30	35	36		

Am: アンモニア, AK: アルカリ度

表3. Case7が生じるための条件

$2Rd_2R_1 + R^2 + 2R + 2Rrb - (aR + 2b)r_2 > 0$
$-3a(R+1) + 3R - ar + 4 > 0$
$r_2(a+2d_1) - 2rb - R > 0$
$-r_2a + R - 2r + 2 > 0$
$m_1 = Rd_2$
$m_2 = 1/2R(-ar_2 + R + 2)/R_1$
$m_3 = 1/2(a - ar + R - a)/R$
$m_4 = d - d_1r + d_1$
$m_5 = m_2$
$m_6 = 1 - 1/2(r_2 + R)$

Hiroshi TANAKA, Isao SOMIYA, Shigeo FUJII, Taku FUJIWARA

(3) ステップ率の影響把握 すべてのケースで表3のような解を得たが、各Caseの生じる条件を定式化することが困難であった。そこで $d_1$ ,  $d_2$ ,  $R$ の条件を固定し、特定の流入条件( $a, b$ )での $r$ の影響を数値計算で求めた。すなわち、各 $r$ ごとに36 Caseの条件をチェックし、条件を満たす唯一のCaseについてT-N除去率( $m_2+m_5$ )を求め、 $r$ の関数として図化した。図2の例のように $r$ の増加とともにT-N除去率は一旦上昇し、その後低下した。最大値はほとんど図の例のCase 9から7のようにCaseが遷移する時に生じている。このように、 $a, b, d_1, d_2, R$ の条件が固定されれば、最大T-N除去を得るための最適ステップ率 $r$ が算出できる。

(4) 最適操作条件 上記の計算を、 $d_1, d_2, R$ の条件を固定し細かな流入条件( $a, b$ 各0.02刻み)のもとで実施し、最大T-N除去に必要な条件(生じうるCaseと $r$ 値)を集約した。それらおよび最大T-N除去率を $a-b$ 座標上で表すことで最適運転管理に必要な条件を図3のように示した。

### 3. 結果の考察

図3(a)は最大T-N除去率を示す時のCase遷移パターンを示している。図中のLine1より $b$ が高い場合はいずれもCase番号が2減少しており、DN2で硝酸、基質とも消費され、DN2での脱窒が最大となる条件にある。一方、 $b$ がLine1より低濃度側はCase遷移が12の減少であり、DN1での同様の運転が最適である。アルカリ度では、Line2より $a$ が低い場合はN1、N2ともアルカリ度が律速因子となっていることがわかる。さらに図3(c)で流入アルカリ度がT-N除去率に大きく影響を及ぼす領域と、Line2左側とは一致することから、アルカリ度が高い場合、その影響はないが、低い場合はアルカリ度がT-N除去率に大きく影響している可能性があることがわかる。

最後に持込DOによる影響であるが、影響を無視した従来の研究<sup>2,3)</sup>に比べアルカリ度不足時の最大T-N除去に必要な $r$ の値が5%程度小さくなる傾向が見られた。これはDN1で持ち込みDOを消費し、かつアルカリ度を補うための基質が実際より低く見積もられていたものと思われる。また、基質が極端に不足する場合は新たにCase 17, 24, 29, 36など嫌気槽で嫌気状態を作れないCaseが生じ、DN2での脱窒反応が起こっていないためT-N除去率がさらに3%程度低くなった。

### 4. おわりに

数値計算を用いた解析により、ステップ法各反応槽で生物反応が理想的に進む条件下での最大T-N除去率と、そのときの最適操作条件を求めることができた。この手法はステップフィード内部循環法や、3段以上のステップフィード嫌気好気法など、さらに複雑な処理法にも適用可能である。

**参考文献** 1) S.Fujii(1996), *Wat. Sci. Tech.*, 34, 459-466. 2) S. Fujii et al.(1997), *Proc. BNR Conf.* 3, 563-570. 3) 藤井ら(1998), 環境工学研究論文集, 35, 367-377. 4) 藤井ら(1997), H6-H8 科研基盤(C)研究成果報告書(No.06650611)

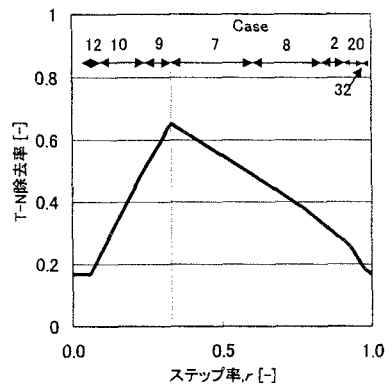


図2 ステップ率とT-N除去率の関係  
( $\sigma=2.0, b=1.5, R=0.25, d_1=0.1, d_2=0.2$ )

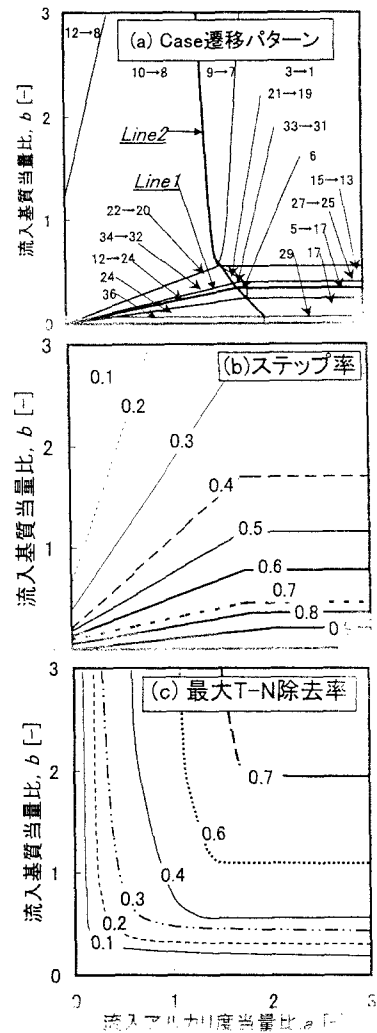


図3. 最大T-N除去を得るためのCaseとステップ率( $R=0.25, d_1=0.1, d_2=0.2$ )